

УДК 547.543:547.26'122:548.737

СИНТЕЗ ТА ВЛАСТИВОСТІ S-ЕСТЕРІВ 2,3-ДІОКСО-1,2,3,4-ТЕТРАГІДРОХІНОКСАЛІН-6-ТІОСУЛЬФОКИСЛОТИ

В.І.Лубенець, С.В.Василюк, О.В.Гой, С.О.Бут*, О.М.Чернега*, В.П.Новіков

Національний університет “Львівська політехніка”,
79013, м. Львів, вул. С.Бандери, 12; E-mail: vnovikov@polynet.lviv.ua

* Інститут органічної хімії НАН України

Ключові слова: 2,3-діоксо-1,2,3,4-тетрагідрохіноксалін-6-тіосульфокислота; S-естери

Синтезовано нові S-естери 2,3-діоксо-1,2,3,4-тетрагідрохіноксалін-6-тіосульфокислоти. Здійснено прогнозований скринінг біологічної активності синтезованих сполук з використанням програми PASS. Проведено рентгеноструктурне дослідження натрієвої солі 2,3-діоксо-1,2,3,4-тетрагідрохіноксалін-6-тіосульфокислоти.

SYNTHESIS AND PROPERTIES 2,3-DIOXO-1,2,3,4-TETRAHYDRO-QUINOXALINE-6-THIOSULFONIC ACID S-ESTERS

V.I.Lubenets, S.V.Vasylyuk, O.V.Goy, S.A.Boot, A.N.Chernega, V.P.Novikov

The new S-esters of 2,3-dioxo-1,2,3,4-tetrahydroquinoxaline-6-thiosulfonic acid have been synthesized. The predicted screening of the biological activity of the compounds synthesized has been performed using the PASS program. The X-ray diffraction research of the sodium salt of 2,3-dioxo-1,2,3,4-tetrahydroquinoxaline-6-thiosulfonic acid has been carried out.

СИНТЕЗ И СВОЙСТВА S-ЭФИРОВ 2,3-ДИОКСО-1,2,3,4-ТЕТРАГИДРОХИНОКСАЛИН-6-ТИОСУЛЬФОКИСЛОТЫ

В.И.Лубенец, С.В.Василюк, О.В.Гой, С.А.Бут, А.Н.Чернега, В.П.Новиков

Синтезированы новые эфиры 2,3-диксо-1,2,3,4-тетрагидрохиноксалин-6-тиосульфокислоты. Осуществлен прогнозированный скрининг биологической активности синтезированных соединений с использованием программы PASS. Проведено рентгеноструктурное исследование натриевой соли 2,3-диксо-1,2,3,4-тетрагидрохиноксалин-6-тиосульфокислоты.

Протягом останніх років сполуки, які містять гетероцикл хіноксаліну, все частіше привертують увагу як речовини широкого спектра біологічної дії. На сьогодні відомою є здатність похідних хіноксаліну проявляти антидепресантну, спазмолітичну, антисептичну, противірусну, протибактеріальну, рістрегулюючу, протиракову та інші види активності [1-9]. Продовжуючи дослідження співробітників кафедри біологічно активних сполук, фармації та біотехнології НУ “Львівська політехніка” в галузі хімії похідних тіосульфокислот ми повідомляємо про отримання тіосульфонатних похідних на основі хіноксаліну і результати прогнозованого та експериментального скринінгу їх біологічної активності.

Синтез алкілових S-естерів 2,3-діоксо-1,2,3,4-тетрагідрохіноксалін-6-тіосульфокислоти здійснено з 1,4-дигідрохіноксалін-2,3-діону, отриманого конденсацією о-фенілендіаміну з оксалатною кислотою [10], за схемою 1.

Сульфохлоруванням хіноксаліндуону 1 п'ятимольною кількістю хлорсульфонової кислоти досягнуто 85% виходу сульфохлориду 2, окисновідновною взаємодією якого з розчином натрій сульфіду виділено в результаті лактим-лактамної таутомерії тіосульфонат у вигляді сполуки 3. При

підкисленні водного розчину тіосульфонату 3 ми отримали натрієву сіль 2,3-діоксо-1,2,3,4-тетрагідрохіноксалін-6-тіосульфокислоти 4.

Будова сполуки 4 підтверджена рентгеноструктурним методом. Загальний вигляд аніона сполуки 4, а також основні довжини зв'язків і валентні кути наведені на рис. 1. Центральна біциклічна система N(1)N(2)C(1-8) практично плоска: відхилення атомів від середньоквадратичної площини не перевищують 0,066 Å°; двогранний кут між кільцями N(1)N(2)C(4)C(5)C(7)C(8) і C(1-6) складає лише 2,7°. Атоми N(1) і N(2) мають плоскотригональну конфігурацію зв'язків — відповідна сума валентних кутів у межах похиби експерименту складає 360,0°. У результаті спряження не-поділених електронних пар атомів N(1) і N(2) з π-системами подвійних зв'язків C(7)=O(3), C(8)=O(4) і бензольного кільця C(1-6) зв'язки N(1)-C(4) 1,405(8), N(1)-C(7) 1,358(9), N(2)-C(5) 1,410(9) і N(2)-C(8) 1,350(9) Å° є явно вкороченими у порівнянні зі стандартним для одинарних зв'язків N(sp²)-C(sp²) значенням 1,45 Å° [11].

У кристалі сполуки 4 кожен з катіонів Na⁺ координує шість атомів кисню (відповідні відстані Na · · · O складають 2,343-2,547(5) Å°), формуючи центросиметричні катіон-аніонні димери (рис. 2).

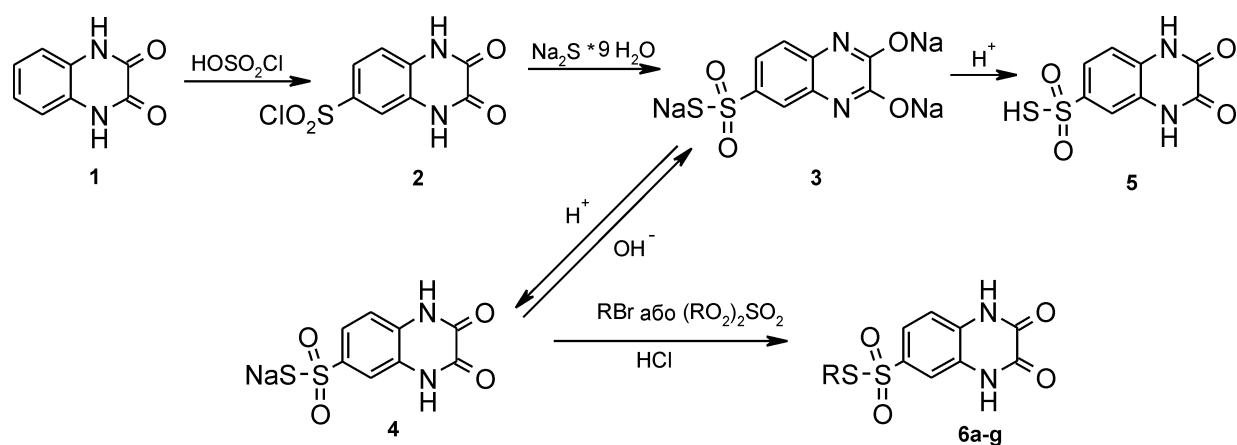


Схема 1

У свою чергу, за рахунок системи міжмолекулярних водневих зв'язків $\text{O}-\text{H} \cdots \text{O}$, $\text{N}-\text{H} \cdots \text{O}$ і $\text{O}-\text{H} \cdots \text{S}$ ці димери утворюють складну тривимірну систему.

Підкисленням тіосульфонатів 3, 4 хлоридною або оцтовою кислотами виділено досить стійку 2,3-діоксо-1,2,3,4-тетрагідрокіноксалін-6-тіосульфокислоту 5, розчинну при нагріванні у воді, яка кристалізується із водного розчину у вигляді голчастих кристалів.

Будова сполук 5 підтверджена даними елементного аналізу, ІЧ-та ^1H ЯМР-спектроскопії та мас-хроматоспектрології. Мас-спектрометрична поведінка 2,3-діоксо-1,2,3,4-тетрагідрокіноксалін-6-тіосульфокислоти 5 свідчить, що під дією електронного удару утворюється нестійкий аніон-радикал (молекулярний іон) — відносна інтенсивність його піку не перевищує 5%. Початковий розпад цієї тіосульфокислоти свідчить про елімінування молекули сульфуру, тому основний пік масового іона — $225(100)[\text{M}-\text{S}]^+$. Температурні межі стійкості 2,3-діоксо-1,2,3,4-тетрагідрокіноксалін-6-тіосуль-

фокислоти 5 встановлено методом термогравіметричного (ТГА) і диференціальнотермічного (ДТА) аналізів у динамічному режимі. У результаті досліджень встановлено, що ця кислота розкладається при нагріванні вище 180°C . При нагріванні її водного розчину при $\text{pH}=1$ вище 90°C 2,3-діоксо-1,2,3,4-тетрагідрокіноксалін-6-тіосульфокислота 5 розкладається з виділенням сульфуру.

Алкілюванням натрієвої солі 2,3-діоксо-1,2,3,4-тетрагідрокіноксалін-6-тіосульфокислоти 4 в ацетоно-водному середовищі алкілбромідами та диметилсульфатом нами вперше отримані алкілові S-естери 2,3-діоксо-1,2,3,4-тетрагідрокіноксалін-6-тіосульфокислоти 6a-g. Температури плавлення, дані елементного аналізу, ІЧ- та ^1H ЯМР-спектроскопії естерів 6a-g наведені в таблицях 1 та 2.

Проведено синтез карбоксиметилового S-естеру 2,3-діоксо-1,2,3,4-тетрагідрокіноксалін-6-тіосульфокислоти бі алкілюванням тіосульфонату 3 бромоцтовою кислотою та алкілюванням тіосульфонату 4 натрієвою сіллю бромоцтової кислоти. Вищі виходи цільового продукту отримано при ви-

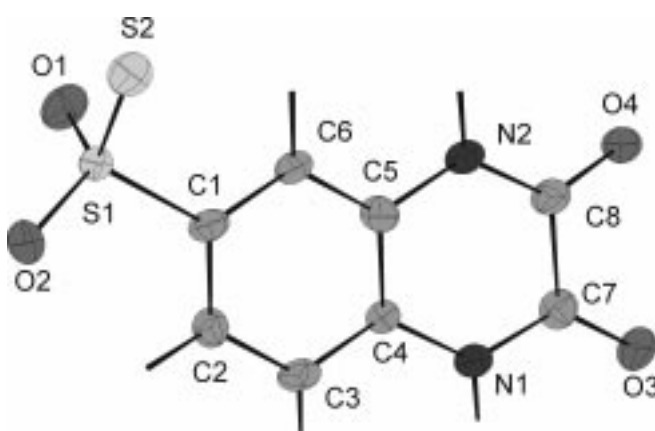


Рис. 1. Загальний вигляд молекули сполуки 4.
Основні довжини зв'язків (\AA) і валентні кути (град.):
 $\text{S}(1)-\text{S}(2)$ 1.962(3), $\text{S}(1)-\text{O}(1)$ 1.461(6), $\text{S}(1)-\text{O}(2)$ 1.448(5),
 $\text{S}(1)-\text{C}(1)$ 1.785(7), $\text{N}(1)-\text{C}(4)$ 1.405(8), $\text{N}(1)-\text{C}(7)$ 1.358(9),
 $\text{N}(2)-\text{C}(5)$ 1.410(9), $\text{N}(2)-\text{C}(8)$ 1.350(9), $\text{C}(4)\text{N}(1)\text{C}(7)$
124.9(6), $\text{C}(5)\text{N}(2)\text{C}(8)$ 123.9(6).

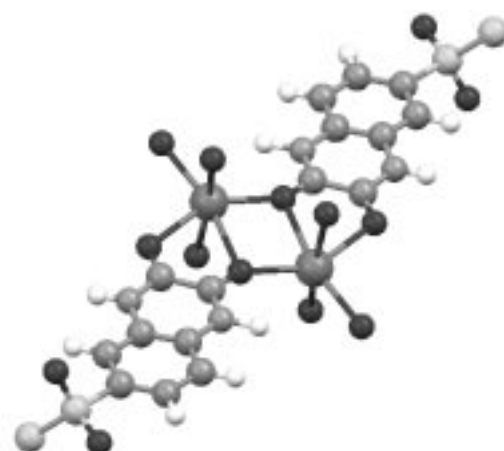


Рис. 2. Загальний вигляд центросиметричного катіон-аніонного димеру сполуки 4.

Таблиця 1

Характеристики сполук 2-5, 6a-l, 7, 8

№	Вихід, %	Т.пл., °C	Знайдено, %				Брутто-формула
			C	H	N	S	
2*	85	164	36,57 36,86	1,75 1,93	10,34 10,75	12,17 12,30	C ₈ H ₅ ClN ₂ O ₄ S
3	73	>300	29,19 29,63	1,15 0,93	8,21 8,64	20,15 19,75	C ₈ H ₃ Na ₃ N ₂ O ₄ S ₂
4	85	>300	33,96 34,29	1,98 1,79	9,56 9,99	22,61 22,88	C ₈ H ₅ NaN ₂ O ₄ S ₂
5	80	180 (з розклад.)	37,3 37,20	2,41 2,34	10,11 10,85	24,56 24,83	C ₈ H ₆ N ₂ O ₄ S ₂
6a	67	238-240	39,32 39,71	3,19 2,94	9,95 10,29	23,21 23,52	C ₉ H ₈ N ₂ O ₄ S ₂
6b	65	250-252	41,51 41,96	3,74 3,50	9,42 9,79	23,47 23,88	C ₁₀ H ₁₀ N ₂ O ₄ S ₂
6c	60	208-209	43,72 44,05	4,32 4,02	8,97 9,33	20,95 21,33	C ₁₁ H ₁₂ N ₂ O ₄ S ₂
6d	62	212-213	43,67 44,05	4,35 4,02	8,89 9,33	21,62 21,33	C ₁₁ H ₁₂ N ₂ O ₄ S ₂
6e	70	225-226	43,85 44,29	3,75 3,36	9,12 9,39	21,12 21,48	C ₁₁ H ₁₀ N ₂ O ₄ S ₂
6f	55	201-202	45,71 46,15	4,78 4,49	8,65 8,97	20,12 20,51	C ₁₂ H ₁₄ N ₂ O ₄ S ₂
6g	75	196-198	43,25 43,77	4,79 4,56	12,32 12,77	18,96 19,45	C ₁₂ H ₁₅ N ₃ O ₄ S ₂
6h	92	300 (з розклад.)	37,72 37,97	2,62 2,53	8,47 8,86	19,90 20,25	C ₁₀ H ₈ N ₂ O ₆ S ₂
6i	80	200 (з розклад.)	37,72 35,50	2,62 2,09	8,47 8,28	19,90 18,96	C ₁₀ H ₇ N ₂ O ₆ S ₂ Na
6j**	57	49-50	37,25 37,66	3,43 3,16	8,23 7,99	17,84 18,28	C ₁₁ H ₁₁ ClN ₂ O ₅ S ₂
6k***	40	193-194	47,73 48,17	2,18 2,02	5,93 6,24	13,89 14,28	C ₁₈ H ₉ ClN ₂ O ₆ S ₂
6l	30	196-197	49,89 50,23	2,59 2,34	6,23 6,51	14,57 14,90	C ₁₈ H ₁₀ N ₂ O ₇ S ₂
7****	62	>300	34,01 34,54	2,79 2,63	7,06 7,32	16,42 16,77	C ₂₂ H ₂₀ Cl ₂ N ₄ S ₄ O ₁₀ Zn
8	62	255-257	46,23 46,56	2,29 2,10	7,98 8,35	18,74 19,12	C ₂₆ H ₁₄ N ₄ O ₁₀ S ₄

* Cl: Знайдено 12,97% Обчислено 13,6%

** Cl: Знайдено 9,89% Обчислено 10,11%

*** Cl: Знайдено 7,63% Обчислено 7,89%

**** Cl: Знайдено 9,13% Обчислено 9,26%

користанні натрієвої солі бromoцтової кислоти. Натрієва сіль карбоксиметилового S-естеру 2,3-діоксо-1,2,3,4-тетрагідрохіноксалін-6-тіосульфокислоти 6h — високотопка речовина білого кольору частково розчинна у воді і у спиртах (вода:2-пропанол — 1:4). Дією розчину хлоридної кислоти сполуку 6h перетворювали на карбоксиметиловий S-естер 2,3-діоксо-1,2,3,4-тетрагідрохіноксалін-6-тіосульфокислоти 6i (схема 2).

Взаємодія 2,3-діоксо-1,2,3,4-тетрагідрохіноксалін-6-тіосульфокислоти з епіхлоргідрином в ацетоново-водному розчині без каталізатора відбува-

ється з α -розкриттям оксиранового циклу. Синтезований 2-гідрокси-3-хлорпропіловий S-естер 2,3-діоксо-1,2,3,4-тетрагідрохіноксалін-6-тіосульфокислоти 6j є в'язким легкотопким продуктом, розчинним у воді (схема 3).

Його будова підтверджена даними ІЧ-, ^1H ЯМР-спектроскопій та елементним аналізом (табл. 1, 2). ІЧ-спектр сполуки 6j має інтенсивні смуги поглинання в області 1136, 1304 cm^{-1} , які характеризують симетричні та асиметричні коливання SO_2 -групи, уширену смугу поглинання в області 3260-3400 cm^{-1} , що відповідає асоційованій гідроксиль-

Таблиця 2

Дані ІЧ- та ^1H ЯМР-спектроскопії сполук 4,5,6 а-г, і-і, 8

№	ІЧ-спектр, частота поглинання ν , см $^{-1}$	^1H ЯМР спектр, хімічний зсув δ , м.д.
4	1136ys, 1336 γ as (SO_2); 1584, 1596, 1608 (Ar); 1688 (CO); 1636, 3120 (NH)	6,27-6,82 м (3H, Ar), 11,16 с (1H, NHCO), 11,26 с (1H, NHCO)
5	1132ys, 1336 γ as (SO_2); 1560, 1584, 1592 (Ar); 1688 (CO); 1624, 3128 (NH)	1,64 с (H, SH), 6,22-6,72 м (3H, Ar), 11,16 с (1H, NHCO), 11,26 с (1H, NHCO)
6a	1136ys, 1320 γ as (SO_2); 1542, 1554, 1608 (Ar); 1696 (CO); 1628, 3192 (NH)	1,74 с (3H, SCH ₃), 7,22-7,53 м (3H, Ar), 12,1 с (1H, NHCO), 12,25 с (1H, NHCO)
6b	1128ys, 1320 γ as (SO_2); 1576, 1584, 1608 (Ar); 1688 (CO); 3112-3216 (NH)	1,26 т (3H, CH ₃), 3,25 к (2H, SCH ₂), 7,26-7,58 м (3H, Ar), 12,11 с (1H, NHCO), 12,27 с (1H, NHCO)
6c	1120ys, 1312 γ as (SO_2); 1586, 1592, 1608 (Ar); 1640 (NH); 1690 (CO); 3122-3210 (NHCO)	1,5 т (3H, CH ₃), 3,1 м (2H, CH ₂), 4,1 т (2H, CH ₂), 7,3-7,67 м (3H, Ar), 12,1 с (1H, NHCO), 12,3 с (1H, NHCO)
6d	1132ys, 1324 γ as (SO_2); 1576, 1588, 1602 (Ar); 1632 (NH); 1696 (CO); 3122-3215 (NHCO)	1,28 м (6H, 2CH ₃), 2,95 м (1H, SCH(CH ₃) ₂), 7,32-7,58 м (3H, Ar), 12,12 с (1H, NHCO), 12,36 с (1H, NHCO)
6e	1136ys, 1336 γ as (SO_2); 1572, 1586, 1608 (Ar); 1636 (NH); 1696 (CO); 3120-3192 (NH)	4,08 д (2H, SCH ₂), 5,12-5,32 м (2H, CH=CH ₂), 5,52-5,68 м (1H, CH=), 7,30-7,56 м (3H, Ar), 12,12 с (1H, NHCO), 12,26 с (1H, NHCO)
6f	1128ys, 1332 γ as (SO_2); 1584, 1588, 1592 (Ar); 1618 (NH); 1692 (CO)	0,88 м (3H, CH ₃), 1,12-1,89 м (4H, CH ₂ CH ₂ CH ₃), 2,72 м (2H, S-CH ₂), 7,32-7,64 м (3H, Ar), 12,1 с (1H, NHCO), 12,28 с (1H, NHCO)
6g	1128ys, 1340 γ as (SO_2); 1586, 1596, 1616 (Ar); 1636 (NH); 1702 (CO), 3132-3212 (NH)	2,17 с (6H, CH ₃), 2,73 м (2H, N-CH ₂), 2,92 м (2H, S-CH ₂), 7,56-7,84 м (3H, Ar), 11,97 с (1H, NHCO), 12,1 с (1H, NHCO)
6i	1128ys, 1292 γ as (SO_2); 1542, 1598, 1612 (Ar); 1636 (NH); 1716 (CO)	3,67 к (2H, S-CH ₂), 7,4-8,12 м (3H, Ar), 10,12 м (1H, OH), 11,84 с (1H, NHCO), 11,98 с (1H, NHCO)
6j	1136ys, 1304 γ as (SO_2), 1624(NH), 1704 (C=O), 3384 (NH), 3400-3260 (OH)	3,38 м (2H, S-CH ₂), 3,64 м (2H, Cl-CH ₂), 4,44 м (1H, OH-CH), 4,95 д (1H, OH), 7,64-7,96 м (3H, Ar), 11,92 с (1H, NHCO), 11,98 с (1H, NHCO)
6k	1134 α s, 1320 β s (SO_2), 1588, 1600 (C=C _{ap}), 1616 (NH), 1684 (C=O), 1702 (C=O), 3360 (NH)	7,76-8,64 м (7H, Ar), 11,84 с (1H, NHCO), 11,96 с (1H, NHCO)
6l	1144ys, 1328 γ as (SO_2), 1564, 1584, 1604 (C=C _{ap}), 1640, 1648, 1672 (C=O), 3200-3484 (OH)	7,76-8,48 м (7H, Ar), 11,86 с (1H, NHCO), 11,96 с (1H, NHCO), 12,26 м (1H, OH)
8	1136ys, 1324ys (SO_2), 1592, 1600 (C=C _{ap}), 1612 (NH), 1680 (C=O), 1704 (C=O), 3360 (NH)	7,78-8,26 м (10H, Ar), 11,82 с (1H, NHCO), 11,86 с (1H, NHCO), 11,92 с (1H, NHCO), 11,98 с (1H, NHCO)

ній групі. Присутність 2,3-діоксо-1,2,3,4-тетрагідрохіноксалінового кільця підтверджена смугами 3384 см $^{-1}$ (NH), 1704 см $^{-1}$ (CO).

Тіосульфонат 3 у присутності цинку хлориду взаємодіє з епіхлоргідрином з утворенням (вихід 62%) цинкового комплексу 7, що підтверджено

даними ІЧ-спектроскопії. ІЧ-спектр сполуки 7 має смуги поглинання в області 1624 см $^{-1}$ (C=N), 1688 см $^{-1}$ (CO), а також смуги 1136ys, 1300 γ as (SO_2) і 3280-3416 (OH), що підтверджують присутність 2-гідрокси-3-хлорпропільного тіосульфатного фрагменту (схема 4).

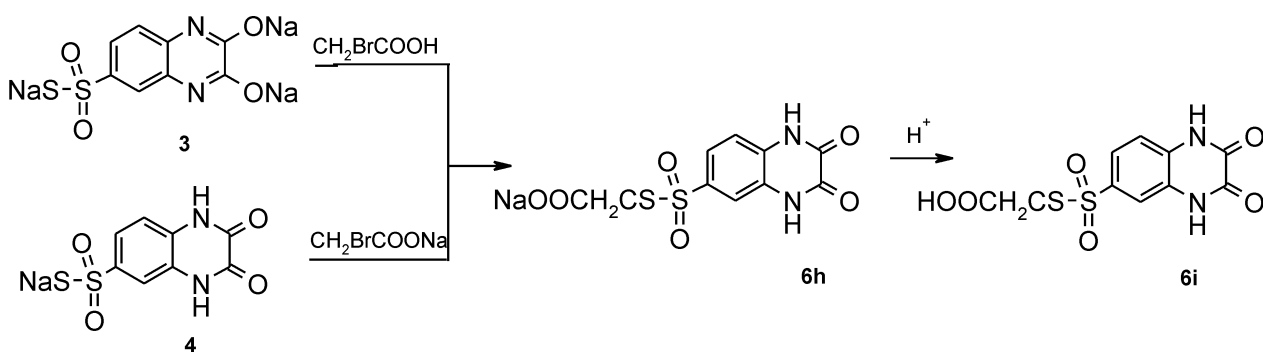


Схема 2

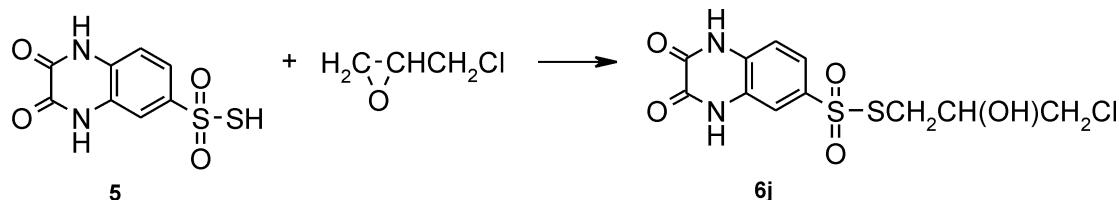


Схема 3

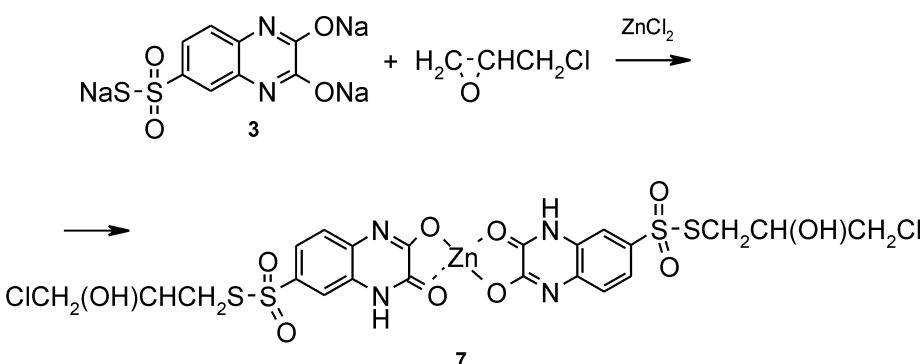


Схема 4

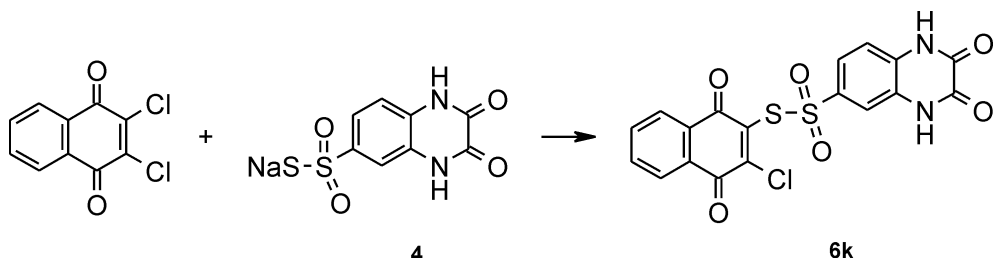


Схема 5

Одержаній комплекс 7 розкладається під дією хлоридної кислоти з отриманням сполуки 6j.

Нуклеофільним заміщенням галогенів у 2,3-дихлор-1,4-нафтохіоні та 2-гідрокси-3-хлор-1,4-нафтохіоні тіосульфонатом 4 нами синтезовано нафтохіонові S-естери 2,3-діоксо-1,2,3,4-тетрагідрохіоксалін-6-тіосульфокислоти 6k,l, 8. Слід відзначити, що при взаємодії ацетонового розчину 2,3-дихлор-1,4-нафтохіону з кристалічною натрієвою сіллю 2,3-діоксо-1,2,3,4-тетрагідрохіоксалін-6-тіосульфокислоти нами виділено лише продукт монозаміщення 6k (схема 5).

У випадку використання ацетоноводного розчину натрієвої солі 2,3-діоксо-1,2,3,4-тетрагідрохіоксалін-6-тіосульфокислоти відбувається заміщення двох атомів хлору з утворенням сполуки 8, характеристики якої подані в табл. 1 та 2 (схема 6).

Внаслідок зменшення реакційної здатності атома хлору в 2-гідрокси-3-хлор-1,4-нафтохіоні його заміщення натрієвою сіллю 2,3-діоксо-1,2,3,4-тетрагідрохіоксалін-6-тіосульфокислоти відбувається значно важче. При тривалому кип'ятінні ацетоново-водного розчину 2-гідрокси-3-хлор-1,4-нафтохіону з сіллю тіосульфокислоти заміщення відбувається лише на 30% (табл. 1, 2) (схема 7).

Відомо, що сполуки з $-SO_2S-$ -групою проявляють широкий спектр біологічної активності [12]. Немало з них запропоновані як лікарські засоби, консерванти фруктів та овочів, ефективні засоби захисту рослин, рістрегулятори, біоцидні добавки, інсектициди, радіопротектори. Для вивчення впливу хіоксалінового фрагменту на біологічну активність синтезованих тіосульфоестерів було досліджено антибактеріальну активність сполук 6a,b,e

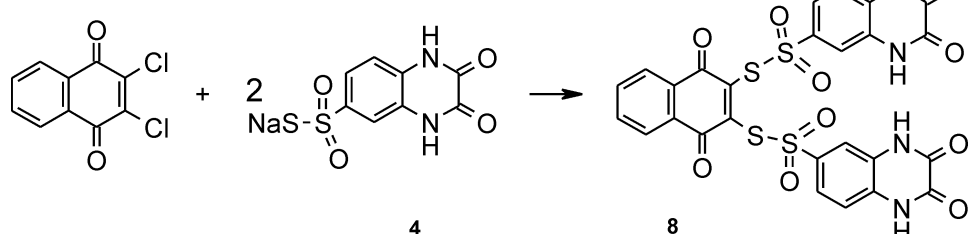


Схема 6

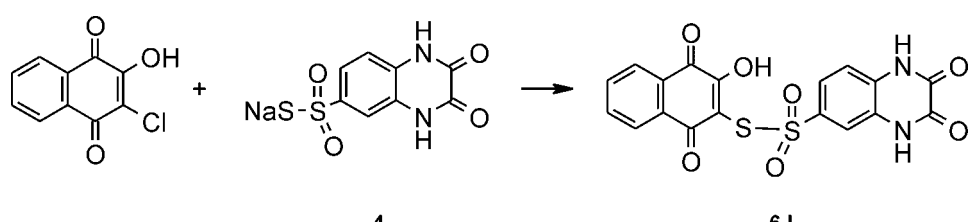


Схема 7

Таблиця 3

Бактерицидна активність сполук 6a,b,e

№	Burkholderia				Alkaligenes			
	Розведення препарату				Розведення препарату			
	10 ⁻¹	10 ⁻²	10 ⁻³	10 ⁻⁴	10 ⁻¹	10 ⁻²	10 ⁻³	10 ⁻⁴
6a	b/c	b/c	b/c	g	b/c	b/c	g	g
6b	b/c	g	g	g	g	g	g	g
6e	b/c	b/c	b/c	g	b/c	b/c	b/c	g

b/c - бактерицидна дія препарату; g - відсутня дія препарату

до бактерій Burkholderia та Alkaligenes в Інституті мікробіології і вірусології ім. Заболотного НАН України. Результати їх антибактеріальної дії наведені у табл. 3.

Із застосуванням комп'ютерної програми PASS [13, 14] нами був проведений прогнозуваний скрінінг біологічної активності 2,3-діоксо-1,2,3,4-тетрагідроксіноксалін-6-тіосульфокислоти 5, її натрієвої солі 4 та алкілових S-естерів 6a-f. Одержані результати наведені в табл. 4 та 5 і показують, що ці сполуки доцільно дослідити на різні види біологічної активності з метою пошуку нових регуляторів ліпідного метаболізму, нефрологічних, судинних, протигрибкових та інших лікарських засобів.

Експериментальна частина

ІЧ-спектри зареєстровані на спектрофотометрі “Specord M 80” в таблетках з KBr. Спектри ¹H ЯМР записані на спектрометрі “Varian VXR-300”, робоча частота — 300 МГц, внутрішній стандарт — ТМС. Хроматомас-спектри зареєстровані з використанням рідинного хроматографа “Agilent 1100 Series”, обладнаного діодно-матричним і мас-

селективним детектором “Agilent LC\MSD SL” (спосіб іонізації — хімічна іонізація при атмосферному тиску (APCI); режим іонізації — одночасне сканування додатніх і від’ємних іонів у діапазоні маси 80-1000 m/z). Контроль за перебігом реакцій та індивідуальністю сполук проводили методом ТШХ на пластинах “Silufol UV 254”.

2,3-Діоксо-1,2,3,4-тетрагідроксіноксалін-6-сульфонілхлорид (2). До 101,57 мл (1,543 Моль) хлорсульфонової кислоти при температурі 0-5°C та інтенсивному перемішуванні протягом 30 хв додавали 50 г (0,309 Моль) 2,3-діоксо-1,2,3,4-тетрагідроксіноксаліну 1. Через 1 год витримки при температурі 0-5°C суміш нагрівали до 60°C та витримували до повного виділення HCl. Реакційну масу охолоджували і виливали на лід. Сірий осад, який випав, відфільтровували, сушили на повітрі. Вихід — 68,5 г (85%).

Натрієва сіль 2,3-гідроксихіноксалін-6-тіосульфокислоти (3). До 50,67 г (0,2111 Моль) Na₂S*9H₂O в 60 мл води при температурі -5-0°C та інтенсивному перемішуванні додавали 50 г (0,1919 Моль) сульфохлориду 2. Після витримки при охолодженні протягом 1 год реакційну масу нагрівали до

Таблиця 4

Прогноз спектра біологічної активності з імовірністю Pa>50% алкілових S-естерів 2,3-діоксо-1,2,3,4-тетрагідроксіноксалін-6-тіосульфокислоти (6a-f)

Активність	Pa (Pi)					
	6a	6b	6c	6d	6e	6f
Cardiovascular analeptic	0,513 (0,121)	-	-	0,609 (0,074)	-	-
Acute neurologic disorders treatment	0,622 (0,013)	0,506 (0,014)	0,536 (0,027)	0,533 (0,028)	0,611 (0,014)	0,554 (0,023)
Antacid	0,528 (0,088)	-	-	0,546 (0,057)	0,530 (0,085)	-
Fibrinolytic	-	-	-	0,517 (0,183)	-	-
Antifungal	0,527 (0,020)	0,697 (0,007)	0,599 (0,010)	0,532 (0,019)	0,725 (0,006)	0,611 (0,008)
Excitatory amino acid antagonist	-	0,506 (0,014)	-	-	-	-
Antitoxic	-	-	0,648 (0,016)	0,522 (0,048)	-	0,640 (0,017)
Antihypertensive	-	-	0,526 (0,032)	0,554 (0,026)	-	0,532 (0,031)
Radioprotector	-	-	-	0,540 (0,029)	-	-
Lipid metabolism regulator	-	-	-	-	0,854 (0,007)	-
Antihypercholesterolemic	-	-	-	-	0,547 (0,030)	-
Antiamebic	-	-	-	-	0,514 (0,007)	-

Таблиця 5

Прогноз спектра біологічної активності з імовірністю $Pa > 50\%$ 2,3-діоксо-1,2,3,4-тетрагідрохіноксалін-6-тіосульфокислоти (5) та її натрієвої солі (4)

Активність	$Pa (Pi)$	
	5	4
Cardiovascular analeptic	0,684 (0,035)	0,681 (0,036)
Acute neurologic disorders treatment	0,601 (0,015)	0,617 (0,014)
Anticonvulsant	0,564 (0,032)	-
Antacid	0,563 (0,034)	0,561 (0,036)
Fibrinolytic	0,608 (0,080)	0,604 (0,084)
NMDA receptor glycine site agonist	0,534 (0,029)	0,531 (0,030)
Convulsant	0,567 (0,075)	0,558 (0,079)
Antiinfective	0,529 (0,040)	-
ATPase inhibitor	0,512 (0,043)	0,509 (0,045)
Toxic	0,518 (0,051)	-
Alzheimer's disease treatment	0,502 (0,062)	0,500 (0,065)
HDL-cholesterol increasing	0,516 (0,083)	0,510 (0,087)
Arrhythmogenic	0,525 (0,132)	0,518 (0,136)
Psychosexual dysfunction treatment	0,507 (0,119)	0,504 (0,123)

70°C та витримували ще 1 год. Додавали 5 г активованого вугілля і витримували при нагріванні протягом 5 хв, після чого фільтрували. Фільтрат випарювали до 2/3 попереднього об'єму, охолоджували, осад, який випав, фільтрували. Вихід — 45,42 г (73%).

Натрієва сіль 2,3-діоксо-1,2,3,4-тетрагідрохіноксалін-6-тіосульфокислоти (4). Розчин 15 г (0,0462 Моль) тіосульфонату 3 в мінімальній кількості води при кімнатній температурі підкисляли до нейтрально-го середовища, утворений осад фільтрували, очищали перекристалізацією з води. Вихід — 11 г (85%).

2,3-Діоксо-1,2,3,4-тетрагідрохіноксалін-6-тіосульфокислота (5). Розчин 15 г (0,0462 Моль) тіосульфонату 3 в 70 мл води при кімнатній температурі підкисляли розчином HCl. Осад кислоти, який випав, фільтрували, промивали льодяною водою. Вихід — 9,5 г (80%).

Загальна методика синтезу S-естерів 2,3-діоксо-1,2,3,4-тетрагідрохіноксалін-6-тіосульфокислоти (6a-g). До розчину 12,9 г (0,0462 Моль) тіосульфонату 4 у водному ацетоні при кімнатній температурі додавали (0,0462 Моль) алкілюючого реагенту. Реакційну масу витримували при кімнатній температурі певний час, залежно від реакційної здатності алкілюючого реагенту. Осад, що випав, фільтрували, промивали водою і кристалізували з придатного розчинника.

Натрієва сіль карбоксиметилового S-естеру 2,3-діоксо-1,2,3,4-тетрагідрохіноксалін-6-тіосульфокислоти (6h). До розчину 15 г (0,0462 Моль) тіосуль-

фонату 3 в 70 мл ацетону та 15 мл води при кімнатній температурі додавали 6,4 г (0,0462 Моль) бромоцтової кислоти. Витримували протягом 1 доби. Осад, який випав, фільтрували, промивали водою, кристалізували з етанолу. Вихід — 12,49 г (80%).

Аналогічно з 13 г (0,0464 Моль) 2,3-діоксо-1,2,3,4-тетрагідрохіноксалін-6-тіосульфонату натрію 4 в 50 мл ацетону та 15 мл і 7,47 г (0,0464 Моль) натрієвої солі бромоцтової кислоти отримували сполуку 6h. Вихід — 14,43 г (92%).

Карбоксиметиловий S-естер 2,3-діоксо-1,2,3,4-тетрагідрохіноксалін-6-тіосульфокислоти (6i). Розчин 15 г (0,0444 Моль) натрієвої солі карбоксиметилового S-естеру 2,3-діоксо-1,2,3,4-тетрагідрохіноксалін-6-тіосульфокислоти 6h в 10 мл води і 40 мл 2-пропанолу при кімнатній температурі підкисляли розчином HCl. Осад, який випав, фільтрували, промивали льодяною водою. Вихід — 11,22 г (80%).

2-Гідрокси-3-хлорпропіловий S-естер 2,3-діоксо-1,2,3,4-тетрагідрохіноксалін-6-тіосульфокислоти (6j). До суспензії 15 г (0,0581 Моль) 2,3-діоксо-1,2,3,4-тетрагідрохіноксалін-6-тіосульфокислоти 5 в 25 мл води при перемішуванні прикачували розчин 5 мл (0,0639 Моль) піхлоргідрину в 25 мл ацетону. Реакційну масу витримували при кімнатній температурі на протязі однієї доби. Осад відфільтровували. Розчинник відганяли у вакуумі. Вихід 6j — 11,61 г (57%).

2-О-цинк-3-оксо-6-(4-гідрокси-1,1-діоксо-5-хлоро-1,2-дітіапентил)-3,4-дигідрохіноксалін (7). До розчину 15 г (0,0462 Моль) тіосульфонату 3 в 40 мл ацетону та 40 мл води при кімнатній температурі додавали 3,14 г (0,0231 Моль) безводного $ZnCl_2$ і 5,8 мл (0,0504 Моль) епіхлоргідрину. Реакційну масу витримували при 20°C протягом однієї доби. Осад відфільтровували. Розчинник відганяли у вакуумі. Вихід — 10,94 г (62%). ІЧ-спектр (KBr), ν , cm^{-1} : 1136 ν_s , 1300 ν_{as} (SO_2), 1624 (NH), 1688 (CO), 3280-3416 (OH).

2-(2-(2,3-Діоксо-1,2,3,4-тетрагідрохіноксалін-6-іл)-2,2-діоксо-1,2-дітіаєтил)-3-хлоро-1,4-нафтохіон (6k). До розчину 1 г (0,0044 Моль) 2,3-дихлор-1,4-нафтохіону в 20 мл ацетону охолодженого до -18°C при інтенсивному перемішуванні повільно додавали 1,23 г (0,0044 Моль) сухої натрієвої солі 2,3-діоксо-1,2,3,4-тетрагідрохіноксалін-6-тіосульфокислоти 4. Реакційну масу витримували на протязі 20 год, фільтрували. З фільтрату при охолодженні розчинник відганяли у вакуумі, одержаний кристалічний продукт промивали водою і очищали перекристалізацією з метанолу. Вихід продукту 6k — 0,79 г (40%).

2,3-Ди(2-(2,3-діоксо-1,2,3,4-тетрагідрохіноксалін-6-іл)-2,2-діоксо-1,2-дітіаєтил)-1,4-нафтохіон (8). До розчину 1 г (0,0044 Моль) 2,3-дихлор-1,4-нафтохіону в 20 мл ацетону охолодженого до -18°C при інтенсивному перемішуванні повільно додавали розчин 1,23 г (0,0044 Моль) натрієвої солі 2,3-діоксо-1,2,3,4-тетрагідрохіноксалін-6-тіосуль-

фокислоти 4 в 10 мл ацетону і 15 мл води. Реакційну масу витримували на протязі 20 год, фільтрували. З фільтрату при охолодженні розчинник відганяли у вакуумі, одержаний кристалічний продукт промивали водою і очищали перекристалізацією з метанолу. Вихід продукту 8 — 0,92 г (62%).

2-(2-(2,3-Діоксо-1,2,3,4-тетрагідрохіноксалін-6-іл)-2,2-діоксо-1,2-дітіастил)-3-гідрокси-1,4-нафтохіон (6l). До розчину 0,3 г (0,0014 Моль) 2-гідрокси-3-хлор-1,4-нафтохіону в 15 мл ацетону при перемішуванні додавали розчин 0,39 г (0,0014 Моль) натрієвої солі 2,3-діоксо-1,2,3,4-тетрагідрохіноксалін-6-тіосульфокислоти в 10 мл ацетону і 5 мл води. Реакційну масу витримували при кипінні протягом 8 год, фільтрували. З фільтрату розчинник відганяли у вакуумі, одержаний кристалічний продукт промивали холодною водою і очищали перекристалізацією із метанолу. Вихід продукту 6l — 0,18 г (30%).

Рентгеноструктурне дослідження

Рентгеноструктурне дослідження монокристалу сполуки 4 з лінійними розмірами $0,34 \times 0,37 \times 0,43$ мм проведено при кімнатній температурі на автоматичному чотирикружному дифрактометрі Enraf-Nonius CAD-4 (MoK_α — випромінення, $\lambda = 0,71069 \text{ \AA}$, співвідношення швидкостей сканування $2\theta/\omega$ 1,2, $\theta_{\max} 25^\circ$, сегмент сфери $0 \leq h \leq 5$, $-9 \leq k \leq 9$, $-15 \leq l \leq 15$). Всього було зібрано 2245 рефлексів. Кристали сполуки 4 триклинні, а $a = 6,601(2)$, $b = 7,892(2)$, $c = 13,407(2) \text{ \AA}$, $\alpha = 99,61(2)$, $\beta = 95,68(2)$, $\gamma = 102,91(2)^\circ$, $V = 664,5(3) \text{ \AA}^3$, $M = 334,3066$, $Z = 2$, $d_{\text{обч}} = 1,67 \text{ g/cm}^3$, $\mu = 4,65 \text{ cm}^{-1}$, $F(000) = 328$, просторова група $P\bar{1}$ (N 2). Структура розшифрована прямим методом і уточнена методом найменших квадратів у повномат-

ричному анізотропному наближенні з використанням комплексу програм CRYSTALS [15]. В уточненні використано 1182 рефлексів з $I > 3\sigma(I)$ (189 параметрів, що уточнюються, число рефлексів на параметр 6,3). Усі атоми водню в аніоні були виявлені з різницевого синтезу електронної густини. Атоми H(1) і H(2) були уточнені ізотропно. Положення атомів H сольватних молекул H_2O виявити не вдалося. При уточненні була використана вагова схема Чебишева [15] з п'ятьма параметрами: 0,64, -1,68, -0,20, -1,01 і -0,27. Кінцеві значення факторів розбіжності $R = 0,076$ і $R_w = 0,073$, GOF 1,081. Залишкова електронна густина з ряду Фурье складає 0,56 і $-0,56 \text{ e}/\text{\AA}^3$. У процесі проведення експерименту кристал розкладався. При обробці експериментального масиву була введена відповідна поправка.

Повний набір рентгеноструктурних даних для сполуки 4 задепонований в Кембріджському банку структурних даних (FCDC № 601420).

Висновки

- Синтезовано та охарактеризовано 2,3-діоксо-1,2,3,4-тетрагідрохіноксалін-6-тіосульфокислоту, її натрієві солі та алкілові, алкілзаміщені та нафтохіонові S-естери.

- Досліджено антибактеріальну активність алкілових S-естерів до бактерій Burkholderia та Alkaligenes, проведено прогнозований скринінг синтезованих сполук з використанням комп’ютерної програми PASS. Встановлено, що речовини даного класу виявили antimікробну активність і є перспективними об’єктами досліджень у пошуку нових регуляторів ліпідного метаболізму, нефрологічних, судинних, протигрибкових та інших лікарських засобів.

Література

- Пат. США 4007184 // C. A. — 1977. — Vol. 86, 19008e.
- Mange A., Martinez M.J. // An. Quim. — 1976. — Vol. 72. — P. 263.
- Elina A.S., Musatova I.S., Padeiskya E.N., Shvarts G. Ya. // Khim-Pharm. Zh. — 1977. — Vol. 11. — P. 54.
- Ohmori J., Sakamoto S., Kuboto H. et al. // J. Med. Chem. — 1994. — Vol. 37. — P. 467.
- Pelke J.D., Im H.K., Hamilkon B.J., Carter D.B. // Mol. Pharmacol. — 1992. — Vol. 42. — P. 294.
- TenBrink R.E., Im W.B., Sethy V.H. et al. // J. Med. Chem. — 1994. — Vol. 37. — P. 758.
- Sun G., Uretsky N.J., Wallace L.J. et al. // J. Med. Chem. — 1996. — Vol. 39. — P. 4430.
- Пат. Японії 7431688 // C. A. — 1974. — Vol. 81, 120670.
- Мельников Н.Н. Пестициды. Химия, технология и применение. — М.: Химия, 1987. — 711 с.
- Ohmori J., Shimzu-Sasamata M., Okada M., Sakamoto S. // J. Med. Chem. — 1996. — Vol. 39. — P. 3971-3979.
- Burke-Laing M., Laing M. // Acta Cryst. (B). — 1976. — Vol. 32. — P. 3216.
- Болдырев Б.Г., Билозор Т.К., Влязло Р.И. и др. Биоповреждения в промышленности. — Горький: ГГУ, 1983. — С. 44-52.
- Поройков В.В., Филимонов Д.А. Сборник “Азотистые гетероциклы и алкалоиды”. — М.: Иридиум-пресс, 2001. — Т. 1. — С. 123-129.
- Поройков В.В. // Химия в России. — 1999. — Т. 2. — С. 8-12.
- Watkin D.J., Prout C.K., Carruthers J.R., Betteridge P.W. CRYSTALS, Issue 10, Chemical Crystallography Laboratory. — Univ. of Oxford. 1996.
- Carruthers J.R., Watkin D.J. // Acta Cryst. (A). — 1979. — Vol. 35, №3. — P. 698-699.

Надійшла до редакції 27.11.2006 р.

Робота виконана за підтримки фонду УНТЦ, проект 1930.